

## 一种制备碳载高合金化 Pt-Ru 催化剂的方法

陈 煜<sup>1</sup> 唐亚文<sup>1</sup> 李 钢<sup>1</sup> 刘长鹏<sup>2</sup> 高 颖<sup>3</sup> 邢 巍<sup>2</sup> 陆天虹<sup>\*1,2</sup>

(<sup>1</sup>南京师范大学化学与环境科学学院, 分析测试中心, 南京 210097)

(<sup>2</sup>中国科学院长春应用化学研究所, 长春 130022)

(<sup>3</sup>哈尔滨师范大学理化学院化学系, 哈尔滨 150080)

**摘要:** 提出了在四氢呋喃(THF)和 H<sub>2</sub>O 混合溶液中用一般的化学还原法在室温下制备碳载 Pt-Ru(Pt-Ru/C)催化剂的新方法。与在纯水中制得的 Pt-Ru/C 催化剂相比, 其 Pt-Ru 粒子的合金化程度高、平均粒径较小且相对结晶度低, 因此, 该催化剂对甲醇氧化的电催化活性远高于在纯水中制得的 Pt-Ru/C 催化剂。高合金化程度的原因是 H<sub>2</sub>PtCl<sub>6</sub> 和 RuCl<sub>3</sub> 在 THF 和 H<sub>2</sub>O 混合溶液中的起始还原电位相近。此外, 在 THF 和 H<sub>2</sub>O 混合溶液中, THF 和 H<sub>2</sub>O 的体积比的改变并不影响制得的 Pt-Ru/C 催化剂中 Pt-Ru 粒子的合金化程度, 但对 Pt-Ru 粒子的粒径以及相对结晶度有较大影响。

**关键词:** 直接甲醇燃料电池; Pt-Ru/C 催化剂; 四氢呋喃; 合金化程度

中图分类号: O614.82<sup>·</sup>6; O614.82<sup>·</sup>1 文献标识码: A 文章编号: 1001-4861(2006)01-0059-06

## Preparation of Carbon Supported High Alloying Pt-Ru Catalyst

CHEN Yu<sup>1</sup> TANG Ya-Wen<sup>1</sup> LI Gang<sup>1</sup> LIU Chang-Peng<sup>2</sup> GAO Ying<sup>3</sup> XING Wei<sup>2</sup> LU Tian-Hong<sup>\*1,2</sup>

(<sup>1</sup>College of Chemistry and Environment Science, Analysis and Testing Center, Nanjing Normal University, Nanjing 210097)

(<sup>2</sup>Changchun Institute of Applied Chemistry, Chinese Academy of Sciences, Changchun 130022)

(<sup>3</sup>Department of Chemistry, Harbin Normal University, Harbin 150080)

**Abstract:** The Pt-Ru particles of the Pt-Ru/C catalyst were found to be with high alloying extent, small average size and low relative crystallinity when the Pt-Ru/C catalyst was prepared with the general chemical reduction method in the mixture solution of tetrahydrofuran (THF) and H<sub>2</sub>O. The Pt-Ru/C catalyst thus prepared showed high electrocatalytic activity for methanol oxidation. In addition, it was found that the volume ratio of THE and H<sub>2</sub>O did not affect the alloying extent, but did change the average size and the relative crystallinity of the Pt-Ru particles.

**Key words:** direct methanol fuel cell; Pt-Ru/C catalyst; tetrahydrofuran; alloying extent

直接甲醇燃料电池(DMFC)由于燃料来源丰富、价格低廉、便于储存和运输的优点, 在小型化电源方面具有广阔的应用前景<sup>[1]</sup>。由于 DMFC 中常用的阳极 Pt 催化剂对甲醇氧化的电催化活性较低, 而且还易被甲醇氧化的中间产物毒化, 因此, 研究对甲醇氧化有高电催化活性和抗中毒能力的阳极催化剂是目

前 DMFC 研究的热点<sup>[2]</sup>。已有许多文章报道 Pt 与过渡金属的复合催化剂, 如 Pt-Ru、Pt-Sn、Pt-Mn、Pt-Ir、Pt-Rh 等对甲醇氧化有高电催化活性和好的抗中毒能力<sup>[2-4]</sup>。其中, Pt-Ru 复合催化剂的性能最好。对于金属复合催化剂, 除了催化剂粒子的平均粒径、结晶度和电化学活性表面积等因素影响电催化剂性能

收稿日期: 2005-06-20。收修改稿日期: 2005-11-15。

科技部“863”基金(No.2003AA517060)、国家自然科学基金(No.20373068、20433060、20573057、20573029)、江苏省科技厅高新技术基金(No.BG2003022)、江苏省教育厅基金(No.JH02-080、05KJB150061)和国家“211”工程资助项目。

\*通讯联系人。E-mail:tianhonglu@263.net; Tel: 025-83598031

第一作者: 陈 煜, 男, 29岁, 硕士研究生; 研究方向: 直接醇类燃料电池。

外,合金化程度也是决定电催化剂性能的一个重要因素。Gasteiger<sup>[5]</sup>和 Iwasita<sup>[6]</sup>都报道了合金化的 Pt-Ru 催化剂对甲醇的催化效果要优于简单混合的 Pt-Ru 催化剂。但常温下一般不易制得高合金化程度的 Pt-Ru 催化剂,如 Antolini<sup>[7]</sup>以  $\text{Na}_2\text{S}_2\text{O}_4$  为还原剂在 60 ℃ 下制备了 Pt 和 Ru 原子比为 1:1 的 Pt-Ru/C 催化剂,但只有 4% 的 Ru 形成了 Pt-Ru 合金。在经 700 ℃ 高温处理后,催化剂的合金化程度增加到 33%。然而,高温处理通常会使金属粒子发生聚集,导致催化剂粒子的粒径显著增大,电催化活性降低。

本文首次报道了在 THF 和  $\text{H}_2\text{O}$  的混合溶液中,在室温下用普通的化学还原法制备的 Pt-Ru/C 催化剂中 Pt-Ru 粒子的合金化程度很高,并且平均粒径较小,因而对甲醇氧化有高的电催化活性。

## 1 实验部分

### 1.1 试剂和仪器

Vulcan XC-72 活性碳(粒径 30 nm,美国 Cabot 公司)、Nafion 溶液(5%(wt),美国 Aldrich 化学公司产品),其余试剂均为分析纯试剂,所有溶液均用三次蒸馏水配制。

电化学测量用 CHI600 电化学分析仪(美国 CHI 仪器公司)和常规的三电极电化学池进行。透射电子显微镜(TEM)照片用 100 kV 分析型 JEM-1011 透射电子显微镜(日本电子公司)拍摄。X-射线衍射谱(XRD)测量用 D/max-rC 型转靶 X 射线衍射仪(日本理学公司)进行,管压 40 kV,管流 100 mA,  $\text{Cu K}\alpha$  射线源为光源。用 Vantage IV 型 X 射线能谱仪(美国热电公司)进行 X 射线能量色散谱(EDS)测量。紫外可见(UV-Vis)吸收光谱用德国 Perkin-Elmer 公司的 Lambda17 型 UV-Vis 吸收光谱仪记录。

### 1.2 Pt-Ru/C 催化剂制备

将 60 mg Vulcan XC-72 活性碳、10 mL 不同体积比的 THF 和  $\text{H}_2\text{O}$  的混合溶液、1.32 mL 0.039 mol·L<sup>-1</sup>  $\text{H}_2\text{PtCl}_6$  水溶液、0.52 mL 0.096 mol·L<sup>-1</sup>  $\text{RuCl}_3$  水溶液混合,搅拌 20 h。在室温下(10 ℃)缓慢滴加 10 mL 0.07 mol·L<sup>-1</sup>  $\text{NaBH}_4$  和 0.025 mol·L<sup>-1</sup>  $\text{Na}_2\text{CO}_3$  的混合溶液,继续搅拌 1 h,以保证 Pt 和 Ru 前体完全还原。然后在 60 ℃ 低压干燥除去溶剂后,用三次水洗涤到无  $\text{Cl}^-$  为止,再用乙醇和水的混合溶液洗涤,在 60 ℃ 烘箱中真空干燥得 Pt-Ru/C 催化剂。将用 THF 和  $\text{H}_2\text{O}$  的体积比分别为 0:10、3:7、5:5 和 10:0 的混合溶液制得的 Pt-Ru/C 催化剂分别标记为 Pt-

Ru/C-0、Pt-Ru/C-3、Pt-Ru/C-5 和 Pt-Ru/C-10。其中加入的 Pt-Ru 质量分数为 20%,Pt 和 Ru 原子比为 1:1。

### 1.3 电化学测量

在电化学测量中,用 Pt 片作为对电极,饱和甘汞电极(SCE)为参比电极,文中所引用的电位均相对于 SCE。直径为 3 mm 的玻碳电极作工作电极的基体,每次实验前,将玻碳电极依次用 5# 金相砂纸、0.3  $\mu\text{m}$  和 0.05  $\mu\text{m}$  的  $\text{Al}_2\text{O}_3$  粉磨至镜面,超声波清洗,最后用三次蒸馏水淋洗干净。

在  $\text{H}_2\text{PtCl}_6$  和  $\text{RuCl}_3$  的电化学测量中,玻碳电极为工作电极。实验在 10±1 ℃ 进行,电位扫描速率为 20 mV·s<sup>-1</sup>。在测量 Pt-Ru/C 催化剂对甲醇氧化的电催化活性时,将 8 mg Pt-Ru/C 催化剂与 3.25 mL 含 20% 乙醇 + 73.75% 水 + 6.25% Nafion(5%) 的混合溶液(体积比)配成 2.46 g·L<sup>-1</sup> 的悬浮液。超声波分散 30 min, 移取 4  $\mu\text{L}$  悬浮液至电极表面,40 ℃ 干燥,制得的工作电极表面的 Pt-Ru 载量为 28  $\mu\text{g} \cdot \text{cm}^{-2}$ 。电解液为 0.5 mol·L<sup>-1</sup>  $\text{H}_2\text{SO}_4$  + 0.5 mol·L<sup>-1</sup>  $\text{CH}_3\text{OH}$  溶液。实验过程在 36±1 ℃ 进行,电位扫描速率为 50 mV·s<sup>-1</sup>。每次测量前向电解液中通 15 min 高纯氮以驱除溶液中的氧,并在实验过程中继续通氮以保持溶液上方的惰性气氛。

## 2 结果与讨论

### 2.1 Pt-Ru/C 催化剂的物性表征

图 1 为 Pt-Ru/C-5 催化剂的 EDS 谱。结果表明,Pt-Ru/C-5 催化剂中的 Pt-Ru 质量分数为 19.2%,Pt 和 Ru 的原子比为 49:51。Pt-Ru/C-0、Pt-Ru/C-3 和 Pt-Ru/C-10 催化剂的 EDS 分析结果与 Pt-Ru/C-5 催化剂的基本相同,Pt-Ru 质量分数也均在 19.2% 左右,Pt 和 Ru 的原子比均接近 1:1。这与由加入  $\text{H}_2\text{PtCl}_6$

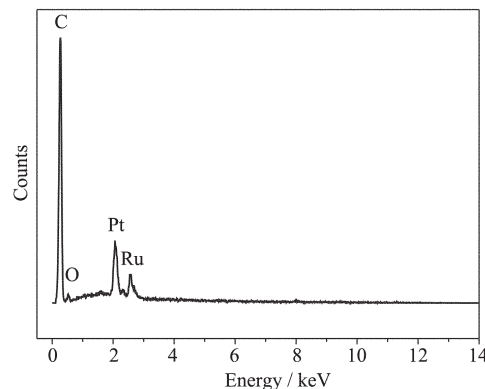


图 1 Pt-Ru/C-5 催化剂的 EDS 谱

Fig.1 EDS spectrum of the Pt-Ru/C-5 catalyst

和  $\text{RuCl}_3$  的量计算而得的值基本相同, 表明  $\text{H}_2\text{PtCl}_6$  和  $\text{RuCl}_3$  基本上完全被还原为 Pt 和 Ru。

图 2 是 4 种 Pt-Ru/C 催化剂的 XRD 图。在各 XRD 图中, 在  $2\theta$  角为  $24.6^\circ$  处都出现了碳(002)的衍射峰, 在  $40.1^\circ$ 、 $46.4^\circ$ 、 $68.1^\circ$  和  $82.1^\circ$  附近出现了相应于 Pt 的(111)、(200)、(220)、(311)晶面衍射峰, 表明所得到的 Pt-Ru 粒子为面心立方结构, 但没有观察到 Ru 和其氧化物的衍射峰。通过 Scherrer 公式<sup>[8]</sup>利用 Pt(220)衍射峰和其半峰宽可计算出 Pt-Ru/C 催化剂中 Pt-Ru 粒子的平均粒径( $d_{\text{XRD}}$ )。用 Antolini<sup>[7]</sup>的方法, 根据 Pt(111)衍射峰峰高( $I_{\text{P}}$ )与碳衍射峰峰高( $I_{\text{C}}$ )的比可计算 Pt-Ru 粒子的相对结晶度, 计算结果列于表 1。由表 1 可见, 4 种 Pt-Ru/C 催化剂中 Pt-Ru 粒子的平均粒径( $d_{\text{XRD}}$ )和相对结晶度与制备催化剂时所用的混合溶液中 THF 和  $\text{H}_2\text{O}$  的体积比有关。当溶液中不加 THF 时, 制得的催化剂的  $d_{\text{XRD}}$  最大, 相对结晶

度也最高。当体积比为 5:5 时,  $d_{\text{XRD}}$  最小, 相对结晶度最低。

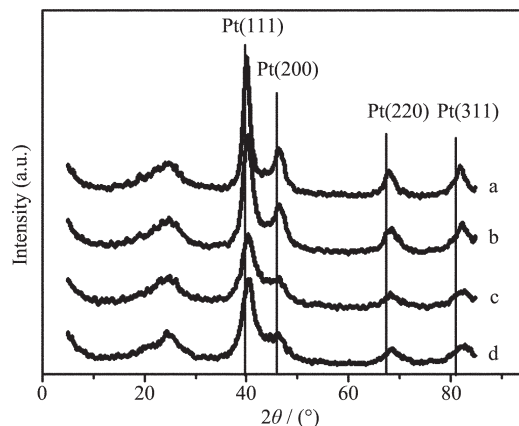


图 2 不同 Pt-Ru 催化剂的 XRD 图

Fig.2 XRD patterns of the (a) Pt-Ru/C-0, (b) Pt-Ru/C-3, (c) Pt-Ru/C-5 and (d) Pt-Ru/C-10 catalysts

表 1 不同 Pt-Ru/C 催化剂中 Pt-Ru 粒子的结构数据  
Table 1 Structural data of in the different Pt-Ru/C catalysts

Catalyst	Relative crystallinity	$d_{\text{XRD}}/\text{nm}$	$d_{\text{TEM}}/\text{nm}$	$2\theta_{\text{max}}/(\text{°})$	$a/\text{nm}$	$x_{\text{Ru}}$
Pt-Ru/C-0	3.45	8.4	8.6	68.006	0.389 58	0.140
Pt-Ru/C-3	2.78	4.6	4.9	68.497	0.387 13	0.357
Pt-Ru/C-5	1.92	3.2	3.4	68.486	0.387 18	0.352
Pt-Ru/C-10	2.27	3.6	3.8	68.460	0.387 31	0.342

根据 Vegard 定律, 由于 Ru 的原子半径比 Pt 的小, 因此, Ru 进入 Pt 晶格后, 就会导致衍射峰向大角度方向移动, Pt 的晶格常数减小<sup>[7]</sup>。与纯 Pt 面心立方晶体的衍射峰峰位(JCPDS, Card 04-0802, 图 2 中竖线)相比, 4 种 Pt-Ru/C 催化剂的 Pt 衍射峰峰位都向大角度方向移动, 表明部分 Ru 取代了 Pt 晶体中的 Pt 原子, 形成了 Pt-Ru 合金。由于石墨碳在  $43^\circ$  和  $82^\circ$  左右均出现特征衍射峰, Pt 的(111)、(200)、(311)晶面的衍射峰与石墨碳的衍射峰有一定重叠。只有  $68^\circ$  处的 Pt(220)晶面的衍射峰不受碳载体的干扰。所以一般都选用不受载体干扰的 Pt(220)晶面衍射峰的数据, 来计算 Pt-Ru 合金的晶格参数。为使计算精确, 用在  $60^\circ$ ~ $75^\circ$  的  $2\theta$  角范围内对这 4 种 Pt-Ru/C 催化剂进行精细扫描后所得的 XRD 图(图 3)中 Pt(220)的晶面衍射峰的  $2\theta$  值( $2\theta_{\text{max}}$ ), 计算 Pt-Ru/C 催化剂中 Pt-Ru 粒子的晶格常数( $a$ )<sup>[9]</sup>, 然后根据  $a$  计算 Pt-Ru 合金中 Ru 的原子分数( $x_{\text{Ru}}$ )<sup>[7]</sup>。与 Pt/C 催化剂中 Pt 粒子的 Pt(220)晶面衍射峰<sup>[7]</sup>(图 3 中竖线)相比, 清晰的显示出 4 种 Pt-Ru/C 催化剂的 Pt 衍射峰

峰位都向大角度方向移动, 再次表明形成了 Pt-Ru 合金, 但衍射峰峰位向大角度方向移动的程度不同, 表明 Pt-Ru 合金化程度不同。由图 3 得到的 4 种 Pt-Ru/C 催化剂中 Pt-Ru 粒子的 Pt(220)晶面衍射峰的  $2\theta_{\text{max}}$  和计算得出的相应的  $a$  和  $x_{\text{Ru}}$  都列于表 1 中。由

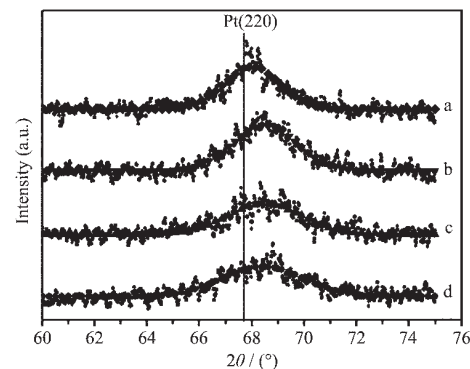


图 3 在  $60^\circ$ ~ $75^\circ$  的  $2\theta$  范围内, 不同 Pt-Ru/C 催化剂的 XRD 图

Fig.3 XRD patterns of the (a) Pt-Ru/C-0, (b) Pt-Ru/C-3, (c) Pt-Ru/C-5 and (d) Pt-Ru/C-10 catalysts in the  $2\theta$  range of  $60^\circ$ ~ $75^\circ$

表 1 可见,溶液中 THF 的加入使制得的 Pt-Ru 催化剂中 Pt-Ru 粒子的合金化程度大大提高,但 Pt-Ru/C-3、Pt-Ru/C-5 和 Pt-Ru/C-10 催化剂中 Pt-Ru 粒子的合金化程度相似,表明 THF 加入的量基本上与合金化程度无关。

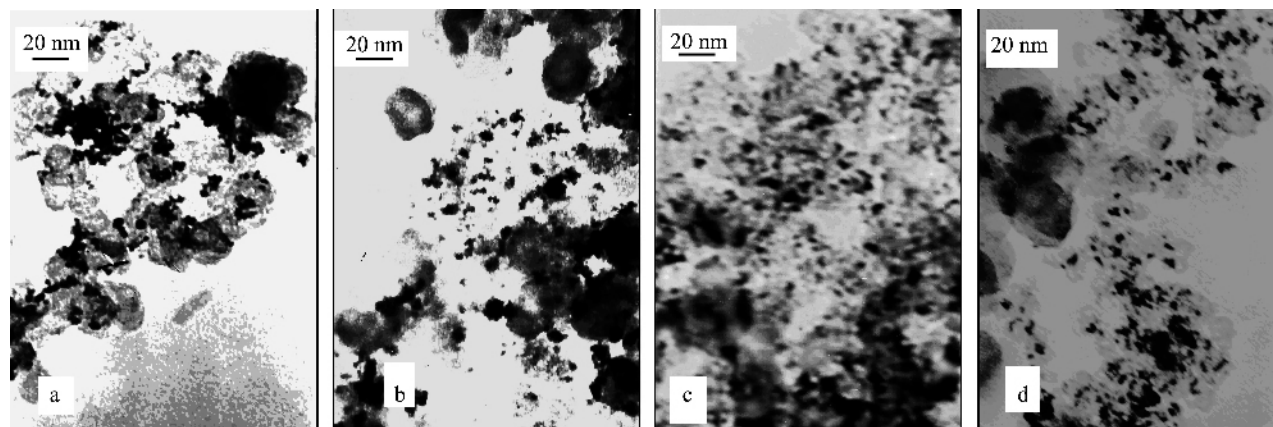


图 4 不同 Pt-Ru/C 催化剂的 TEM 照片

Fig.4 TEM images of the (a) Pt-Ru/C-0, (b) Pt-Ru/-3, (c) Pt-Ru/C-5 and (d) Pt-Ru/C-10 catalysts

## 2.2 高合金化 Pt-Ru/C 催化剂的成因

图 5 为  $4.5 \text{ mmol} \cdot \text{L}^{-1} \text{H}_2\text{PtCl}_6$  分别在水及体积比为 5:5 的 THF 和  $\text{H}_2\text{O}$  的混合溶液中( $0.05 \text{ mol} \cdot \text{L}^{-1} \text{NaCl}$  为支持电解质) 在玻碳电极上的线性扫描曲线。由图 5 曲线 a 可见,  $\text{H}_2\text{PtCl}_6$  在纯水溶液中的起始还原电位位于 0.3 V 附近, 而在混合溶液中的起始还原电位位于 0.07 V 附近(图 5 曲线 b), 比在纯水溶液中负移了 230 mV, 起始还原电位的负移说明  $\text{H}_2\text{PtCl}_6$  和 THF 可能形成了配合物, 导致还原电位的负移。

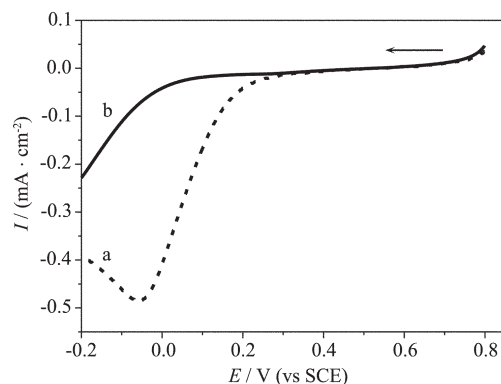


图 5  $\text{H}_2\text{PtCl}_6$  在水及体积比为 5:5 的 THF 和  $\text{H}_2\text{O}$  混合溶液中在玻碳电极上的线性扫描曲线

Fig.5 Linear sweeping voltammograms of  $4.5 \text{ mmol} \cdot \text{L}^{-1} \text{H}_2\text{PtCl}_6$  in (a)  $\text{H}_2\text{O}$  and (b) mixture solution of THF and  $\text{H}_2\text{O}$  with the volume ratio of 5:5 at the glassy carbon electrode

图 4 是 4 种 Pt-Ru/C 催化剂的 TEM 照片。由图 4 统计出不同催化剂中 Pt-Ru 粒子的平均粒径( $d_{\text{TEM}}$ ) 数据也列于表 1。由 TEM 测得的 Pt-Ru 粒子的平均粒径与从 XRD 计算得出的 Pt-Ru 粒子的平均粒径很相近, 表明测得的数据是可靠的。

图 6 是  $0.1 \text{ mmol} \cdot \text{L}^{-1} \text{H}_2\text{PtCl}_6$  的水及 THF 溶液的 UV-Vis 吸收光谱。由图 6 可见, 在水中,  $\text{H}_2\text{PtCl}_6$  的吸收峰在 185 nm 和 260 nm 处, 而在 THF 中, 2 个吸收峰分别位于 202 nm 和 273 nm 处, 这进一步证明 THF 与  $\text{H}_2\text{PtCl}_6$  形成了配合物。

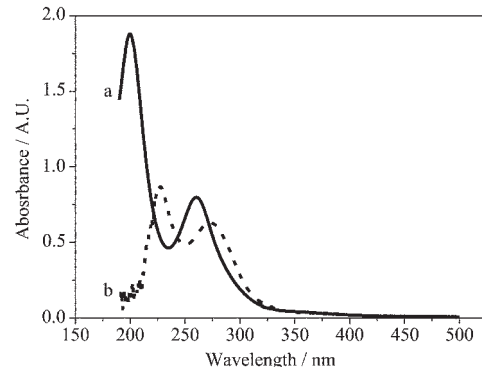


图 6  $\text{H}_2\text{PtCl}_6$  在  $\text{H}_2\text{O}$  和 THF 中的 UV-Vis 吸收光谱

Fig.6 UV-Vis absorption spectra of  $0.1 \text{ mmol} \cdot \text{L}^{-1} \text{H}_2\text{PtCl}_6$  in (a)  $\text{H}_2\text{O}$  and (b) THF

图 7 为  $4.5 \text{ mmol} \cdot \text{L}^{-1} \text{RuCl}_3$  分别在水及体积比为 5:5 的 THF 和  $\text{H}_2\text{O}$  的混合溶液中( $0.05 \text{ mol} \cdot \text{L}^{-1} \text{NaCl}$  为支持电解质) 在玻碳电极上的线性扫描曲线。由图 7 曲线 a 和 b 可见, 2 条曲线中  $\text{RuCl}_3$  的还原峰峰电位基本相同, 还原到  $\text{Ru}^0$  的第二还原峰的起始还原电位在 0.07 V 左右, 基本上与  $\text{H}_2\text{PtCl}_6$  在 THF 和  $\text{H}_2\text{O}$  混合溶液中的起始还原电位相同。这说明在 THF 和  $\text{H}_2\text{O}$  混合溶液中, Pt 和 Ru 基本上可在

相同的电位下还原得到,因此,在混合溶液中制得的 Pt-Ru/C 催化剂中,Pt-Ru 粒子的合金化程度较高。而在水溶液中,两者的起始还原电位相差 230 mV 左右,因此,一般 Pt 容易先被还原得到,因此,制得的 Pt-Ru/C 催化剂的合金化程度较低。

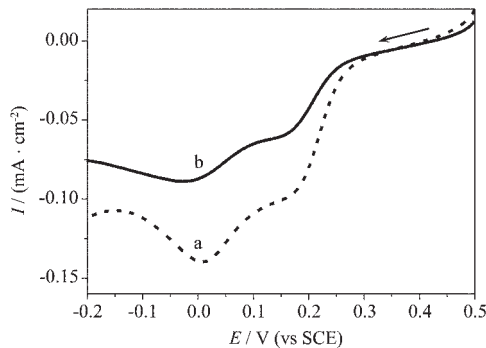


图 7  $\text{RuCl}_3$  在水及体积比为 5:5 的 THF 和  $\text{H}_2\text{O}$  混合溶液中在玻碳电极上的线性扫描曲线

Fig.7 Linear sweeping voltammograms of  $4.5 \text{ mmol}\cdot\text{L}^{-1}$   $\text{RuCl}_3$  in (a)  $\text{H}_2\text{O}$  and (b) the mixture solution of THF and  $\text{H}_2\text{O}$  with the volume ratio of 5:5 at the glassy carbon electrode

### 2.3 不同 Pt-Ru/C 催化剂对甲醇氧化的电催化活性

图 8 为 4 种 Pt-Ru/C 催化剂电极在  $0.5 \text{ mol}\cdot\text{L}^{-1}$   $\text{CH}_3\text{OH} + 0.5 \text{ mol}\cdot\text{L}^{-1}$   $\text{H}_2\text{SO}_4$  溶液中的循环伏安曲线。由图可观察到,在不同 Pt-Ru/C 催化剂电极上,正扫时的甲醇氧化峰都出现在 0.47 V 左右,但峰电流不同。相应于 Pt-Ru/C-5、Pt-Ru/C-10、Pt-Ru/C-3 和 Pt-Ru/C-0 催化剂的峰电流分别为 2.27、2.04、1.12 和  $0.88 \text{ mA}\cdot\text{cm}^{-2}$ , 表明不同 Pt-Ru/C 催化剂对甲醇氧化的电催化活性次序为 Pt-Ru/C-5>Pt-Ru/C-10>

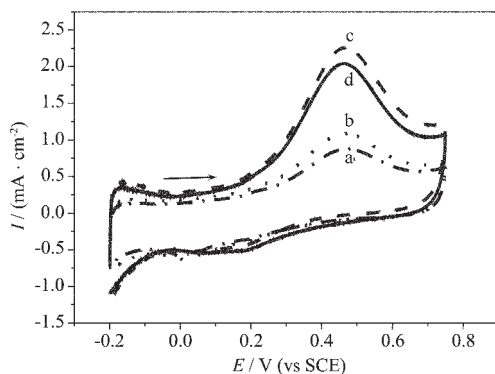


图 8 甲醇在不同 Pt-Ru/C 催化剂电极上的循环伏安曲线

Fig.8 Cyclic voltammograms of the  $0.5 \text{ mol}\cdot\text{L}^{-1}$   $\text{H}_2\text{SO}_4 + 0.5 \text{ mol}\cdot\text{L}^{-1}$   $\text{CH}_3\text{OH}$  solution at the (a) Pt-Ru/C-0, (b) Pt-Ru/C-3, (c) Pt-Ru/C-5 and (d) Pt-Ru/C-10 catalyst electrodes

Pt-Ru/C-3>Pt-Ru/C-0。

图 9 为 4 种 Pt-Ru/C 催化剂电极在  $0.5 \text{ mol}\cdot\text{L}^{-1}$   $\text{CH}_3\text{OH} + 0.5 \text{ mol}\cdot\text{L}^{-1}$   $\text{H}_2\text{SO}_4$  溶液中,电位恒定在 0.4 V 时的计时电流曲线。由图可见,在达到相对稳定状态时,相应于不同 Pt-Ru/C 催化剂的电流密度为 Pt-Ru/C-5>Pt-Ru/C-10>Pt-Ru/C-3>Pt-Ru/C-0。

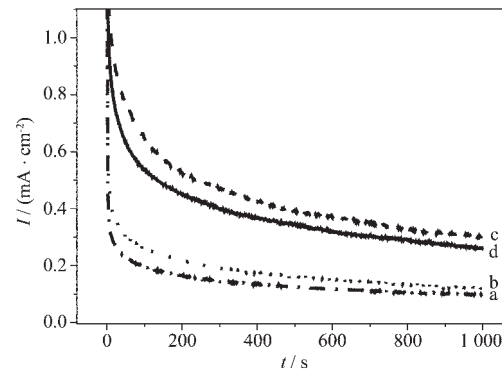


图 9 甲醇在不同 Pt-Ru/C 催化剂电极在 0.4 V 时的计时电流曲线

Fig.9 Chronoamperometric curves of the  $0.5 \text{ mol}\cdot\text{L}^{-1}$   $\text{H}_2\text{SO}_4 + 0.5 \text{ mol}\cdot\text{L}^{-1}$   $\text{CH}_3\text{OH}$  solution at the (a) Pt-Ru/C-0, (b) Pt-Ru/C-3, (c) Pt-Ru/C-5 and (d) Pt-Ru/C-10 catalysts electrodes

## 3 结 论

当在 THF 和  $\text{H}_2\text{O}$  混合溶液用化学还原法来制备 Pt-Ru/C 催化剂时,可能由于  $\text{H}_2\text{PtCl}_6$  能与 THF 形成配合物而使  $\text{H}_2\text{PtCl}_6$  和  $\text{RuCl}_3$  的起始还原电位相近,在 THF 和  $\text{H}_2\text{O}$  混合溶液制得的 Pt-Ru/C 催化剂中的 Pt-Ru 粒子具有高的合金化的程度,混合溶液中 THF 和  $\text{H}_2\text{O}$  体积比的变化并不影响合金化的程度,但会改变 Pt-Ru/C 催化剂中 Pt-Ru 粒子的平均粒径和相对结晶度。当 THF 和  $\text{H}_2\text{O}$  体积比为 5:5 时,Pt-Ru 粒子的平均粒径最小,为 3.2 nm 左右,相对结晶度最低,为 1.92。因此,在体积比为 5:5 的 THF 和  $\text{H}_2\text{O}$  混合溶液中制得的 Pt-Ru/C 催化剂,由于其 Pt-Ru 粒子的合金化程度高,平均粒径小和相对结晶度低而显示出对甲醇氧化的高的电催化活性。由于该制备方法比较简单,制得的 Pt-Ru/C 催化剂的性能好,所以有望得到实际的应用。

## 参考文献:

- [1] CHEN Wei-Xiang(陈卫祥), YU Gui-Yan(俞贵艳), ZHAO Jie

- (赵杰), et al. *Wuji Huaxue Xuebao (Chinese J. Inorg. Chem.)*, **2004**, **20**(12):1467~1470
- [2] Hogarth M P, Hards G A. *Platinum Metals Rev.*, **1996**, **40**: 150~152
- [3] Aricò A S, Creti P, Kim H, et al. *J. Electrochem. Soc.*, **1996**, **143**:3950~3959
- [4] Abdel Rahim M A, Khalil M W, Hassan H B. *J. Appl. Electrochem.*, **2000**, **30**:1151~1155
- [5] Gasteiger H A, Markovic N, Ross P N, et al. *J. Electrochem. Soc.*, **1994**, **141**:1795~1803
- [6] Iwasita T, Hoster H, John-Anacker A, et al. *Langmuir*, **2000**, **16**:522~529
- [7] Antolini E, Cardellini F. *J. Alloys Compounds*, **2001**, **315**:118~122
- [8] White J H, Sammells A F. *J. Electrochem. Soc.*, **1993**, **140**: 2167~2176
- [9] Radmilovic V R, Gasteiger H A, Ross J P N. *J. Catalysis*, **1995**, **154**:98~106